

## ГЛАВА 7 МОДЕЛЬ ВНУТРЕННЕГО СТРОЕНИЯ ЗЕМЛИ

«... Можно уподобить всякое землетрясение фонарю, который зажигается на короткое время и освещает нам внутренность Земли, позволяя тем самым рассмотреть то, что там происходит. Свет от этого фонаря пока еще очень тусклый, но не подумайте совершенно, что со временем он станет гораздо ярче и позволит нам разоблачиться в этих сложных явлениях природы...»

Б. В. Годунов, «Лекции по сейсмологии».

В науке при рассмотрении сложных объектов мы спешим и рядом имеем дело с моделями. Говорят о моделях элементарных частиц, моделях внутреннего строения звезд, моделях внутреннего строения планет. Модель — некоторая наглядная картина строения изучаемого объекта. При построении модели стремятся учесть все, что известно о рассматриваемом предмете. По мере развития науки модели становятся все более детализированными, и современные модели внутреннего строения Земли опираются на весьма большой информативный материал, накопленный геофизиками к настоящему времени. В геофизике под моделью Земли понимают как бы разрез нашей планеты, на котором показано, как меняются с глубиной такие ее важнейшие параметры, как плотность, давление, ускорение силы тяжести, скорости сейсмических волн, температура, электропроводность и др.

О некоторых из этих параметров мы уже говорили выше. Здесь же пойдет речь о распределении в недрах Земли плотности, давления и ускорения силы тяжести. Чтобы лучше усвоить себе суть дела, начнем рассмотреть с простейшего примера.

### 7.1. ОДНОРОДНАЯ МОДЕЛЬ.

Простейшей моделью нашей планеты является однородная модель  $\rho = \rho(r) = \rho = 5,52 \text{ г/см}^3$ . Значение  $\rho = 5,52 \text{ г/см}^3$  — средняя плотность Земли. Для однород-

ной модели можно рассчитать распределение ускорения силы тяжести и давления. Ускорение силы тяжести  $g$  определяется с помощью формулы, известной из элементарного курса физики,

$$g = \frac{Gm}{r^2}. \quad (36)$$

Здесь  $G = 6,67 \cdot 10^{-8} \text{ см}^3/\text{г} \cdot \text{сек}^2$  — гравитационная постоянная,  $m$  — масса, заключенная внутри сферы радиуса  $r$ ,  $r$  — радиус. В случае однородной модели величина  $m$  равна произведению объема сферы радиуса  $r$  на постоянное значение плотности  $\rho$ :

$$m = \frac{4\pi}{3} r^3 \rho.$$

Подставив эту величину в (36), получим

$$g = g_0 r, \quad g_0 = \frac{4\pi}{3} G \rho \rho;$$

$$x = \frac{r}{R}, \quad g_0 = 1000 \text{ см/сек}^2, \quad (37)$$

где  $x$  — безразмерный радиус, изменяющийся от 1 на поверхности планеты до нуля в центре. Следовательно, в однородной модели ускорение силы тяжести изменяется по линейному закону, уменьшается от своего максимального значения на поверхности до нуля в центре.

Давление на глубине  $l = R - r$  равно весу пород вышележащих слоев. Если бы наряду с плотностью ускорение  $g$  было бы также постоянно, то давление на глубине  $l$  просто равнялось бы  $\rho g l$ . В общем случае, когда плотность  $\rho$  и ускорение силы тяжести  $g$  зависят от глубины (или, что то же самое, от радиуса), поступают так. Пластиче разбивают на столь тонкие сферические оболочки, что в каждом слое значение  $\rho$  и  $g$  является примерно постоянным. Определив таким образом вес пород на единичную площадку в каждом слое  $\rho_i g_i \Delta l_i$  ( $i$  — номер слоя), находят давление, суммируя вес всех вышележащих слоев:

$$p_k = \sum_{i=1}^k \rho_i g_i \Delta l_i,$$

где  $p_k$  — давление на глубине  $k$ -го слоя (слои считаются сверху вниз). В результате для однородной модели получается квадратичная зависимость давления от безразмер-

ного радиуса  $x$ :

$$p = p(0) [1 - x^2],$$

$$p(0) = \frac{1}{2} g_0 R = 1,73 \cdot 10^6 \text{ бар.}$$

В однородной модели давление растет по квадратичному закону от нуля на поверхности ( $x = 1$ ) до  $1,73 \cdot 10^6 \text{ бар}$  в центре ( $x = 0$ ) однородной Земли. В реальной Земле имеется заметная концентрация массы к центру (Земля имеет железное ядро). В результате ускорение силы тяжести в реальной Землепадает слабее, чем в однородной модели, и соответственно давление нарастает сильнее и принимается в центре примерно в два раза большее значение,  $\sim 3,6 \cdot 10^6 \text{ бар}$ .

Таким образом, однородная модель для Земли является не очень хорошим приближением. Зато для нашего естественного спутника Луны однородная модель достаточно хороша. Мы уже упоминали, что из-за малых размеров давление в центре Луны мало и вещество в ней сжато всего на несколько процентов. На поверхности Луны ускорение силы тяжести в шесть раз меньше земного,  $g_0 = 162 \text{ см/сек}^2$ , а давление в однородной модели с средними параметрами Луны ( $\rho_l = 3,34 \text{ г/см}^3$ ,  $R_l = 1738 \text{ км}$ ),  $p(0) = 4,71 \cdot 10^4 \text{ бар}$ , т. е. в 36,7 раза меньше, чем в однородной модели Земли. Следовательно, модель внутреннего строения Луны описывается простыми соотношениями:

$$\left. \begin{aligned} \rho &= 3,34 \text{ г/см}^3, & g &= g_0 x, & g_0 &= 162 \text{ см/сек}^2, \\ p &= p(0) [1 - x^2], & p(0) &= 4,71 \cdot 10^4 \text{ бар}, & R &= 1738 \text{ км.} \end{aligned} \right\} (38)$$

## 7.2. РЕАЛЬНЫЕ МОДЕЛИ (РАСПРЕДЕЛЕНИЕ ПЛОТНОСТИ, УСКОРЕНИЯ СИЛЫ ТЯЖЕСТИ, ДАВЛЕНИЯ)

Расскажем теперь в общих чертах, как строятся детальные модели внутреннего строения Земли, используя всю имеющуюся геофизическую информацию. Такие модели кратко называют реальными моделями. Первый и наиболее существенный шаг на пути построения реальных моделей Земли сделали американские геофизики Адамс и Вильямсон в 1923 г. Они предложили использовать сейсмический параметр  $\Phi = K/\rho$  для определения детального хода плотности в недрах Земли. Сейсмический

параметр  $\Phi$  легко определяется через скорости сейсмических волн  $v_p$  и  $v_s$  [формулы (1) и (2)], о которых мы подробно говорили в начале книги:

$$\Phi = \frac{K}{\rho} = v_p^2 - \frac{4}{3} v_s^2. \quad (39)$$

Так как для Земли скорости  $v_p$  и  $v_s$  известны как функции глубины, то  $\Phi$  также известна как функция глубины. Сейсмический параметр  $\Phi$  равен отношению модуля сжатия  $K$  и плотности; в свою очередь  $K$  по определению равно

$$K = \rho \frac{\Delta p}{\Delta \rho} \quad (40)$$

(произведению  $\rho$  на отношение приложенного к телу приращения давления  $\Delta p$  к соответствующему приращению плотности  $\Delta \rho$ ). Таким образом, если нам известен сейсмический параметр  $\Phi$  (39), то мы можем определить закон, по которому происходит приращение плотности при небольших приращениях давления

$$\Delta \rho = \frac{1}{\Phi} \Delta p. \quad (41)$$

Теперь, чтобы решить задачу, необходимо знать закон, по которому происходит нарастание давления в недрах Земли. Это нарастание происходит по гидростатическому закону: приращение давления  $\Delta p$  при увеличении глубины на  $\Delta l$  равно весу вещества этого слоя, приходящегося на единичную площадь:

$$\Delta p = \rho g \Delta l. \quad (42)$$

Исключая  $\Delta p$  из (41) с помощью (42), получим знаменитое уравнение Адамса — Вильямсона

$$\Delta \rho = \frac{\rho \cdot g}{\Phi} \Delta l, \quad (43)$$

позволяющее определить детальное распределение плотности в недрах Земли и соответственно построить реальную модель Земли.

На первый взгляд может показаться, что уравнение (43) не позволяет определить приращение плотности, так как туда входит неизвестная функция  $g(l)$  — ускорение силы тяжести. Действительно,  $g(l)$  определяется на основе распределения плотности в планете, но это не сказывается при решении (43), так как вместе с распределением  $\rho(l)$  автоматически определяется  $g(l)$ .

Обычно, когда говорят о модели Земли, то в первую очередь имеют в виду распределение плотности и давления. Дело в том, что функции  $\rho(l)$  и  $p(l)$  являются исходными для определения многих других параметров Земли. Так, например, зная  $\rho(l)$ , можно рассчитывать распределение упругих моделей в Земле ( $K(l)$  — модуль сжатия и  $\mu(l)$  — модуль сдвига) по скоростям сейсмических волн  $v_p(l)$  и  $v_s(l)$  [формулы (1) и (2)]. Если известны  $\rho(l)$  и  $p(l)$ , то тем самым известно уравнение состояния земного вещества  $p = p(\rho)$ .

Сравнивая определенную таким образом зависимость  $p(\rho)$  с уравнением состояния различных горных пород и минералов, найденным в лабораторных экспериментах, мы получаем возможность приступить к подбору конкретного вещественного состава земных недр на конкретной основной основе. Примерно 20 лет назад и было произведено сравнение функции  $p(\rho)$  для земного ядра с  $p(\rho)$  для железа определенной по лабораторным данным. Согласно этих функций с точностью до 10% в интервале давлений  $(1,35 \div 3,6) \cdot 10^6 \text{ бар}$ , господствующим в земном ядре, как раз и является важнейшим указанием на то, что центральная область нашей планеты в основном состоит из железа.

Плотность реальной Земли не является непрерывной функцией глубины. Из сейсмологии известно, что свойства вещества земных недр меняются скачком на границе коры и оболочка Земли (граница  $M$ ), на границе оболочка и ядра Земли. Существует также несколько более слабых разрывов. Кроме того, в переходном слое оболочка Земли — зона  $C$  — нарастание плотности происходит как в результате сжатия от давления вышележащих слоев, так и за счет уплотнения силикатного вещества оболочка из-за фазовых переходов и превращения их в более плотные модификации. Последний эффект уравнение Адамса — Вильямсона не учитывает и, следовательно, оно не может быть применено к слою  $C$ . В этом случае необходимо предполагать дополнительные условия, чтобы определить из них скачки плотности на разрывах и ход плотности в зоне  $C$ . Из этих условий важнейшими являются два: распределение плотности должно удовлетворять значению полной массы Земли  $M$  и значению ее среднего момента инерции  $I$ . Обе последние величины определены в гравиметрии. Кроме этих фундаментальных условий, используются некоторые другие, в результате чего рас-

пределение плотности в Земле в настоящее время известно с точностью до 1—2%.

В начале двадцатых годов, когда Адамс и Вильямсон предложили использовать функцию  $\Phi(l)$  для определения плотности, сейсмология находилась еще на раннем этапе своего становления. Времена пробега сейсмических волн  $P$  и  $S$  в Земле и соответственно сами функции  $v_p(l)$  и  $v_s(l)$  содержали в то время большие неточности. Это-то и заставило двух крупнейших геофизиков того времени Джеффриса и Гутенберга приступить к пересмотру времен пробега и распределений  $v_p(l)$  и  $v_s(l)$ . Работа продолжалась около 10 лет и завершилась к концу тридцатых годов новыми фундаментальными распределениями скоростей сейсмических волн по Джеффрису и по Гутенбергу. Оба распределения скоростей были довольно близки друг к другу, за исключением небольших деталей.

Распределения скоростей Джеффриса и Гутенберга оказались столь точны и хороши, что все последующее развитие сейсмологии, по существу, занималось уточнением этих распределений. Эти уточнения важны для установления детального строения оболочка и ядра. Что же касается механической модели Земли, т. е. ее параметров  $\rho(l)$  и  $p(l)$ , то они с точностью до нескольких процентов были рассчитаны австралийским геофизиком Булленом в конце тридцатых и начале сороковых годов. Буллен стажировался в Кембридже (Англия) у Джеффриса и помогал ему в весьма трудоемкой работе по пересмотру таблиц времен пробега и установлению новых зависимостей  $v_p(l)$  и  $v_s(l)$ . В 1936 г., когда последила работа шла к концу, Буллен приступил к построению новых моделей Земли, используя распределение скоростей Джеффриса для определения сейсмического параметра  $\Phi$  в уравнении Адамса — Вильямсона (43). И здесь фундаментальную роль сыграло известное в то время значение момента инерции  $I$ .

Выше подробно говорилось, сколь сильно значение  $I$  управляет распределением плотности в недрах планет. И действительно, Буллен, проверяя большое число пробных распределений плотности для Земли, обнаружил, что для того, чтобы получить правильное значение момента инерции  $I$ , необходимо ввести аномальный рост плотности в зоне  $C$  на глубинах 400—1000 км. Так была окончательно сформулирована концепция переходного слоя

в оболочке Земли. Эти работы стимулировали гипотезу оливин-шиннелевых фазовых переходов Бернала, которая в свою очередь явилась отправной точкой последующих работ Рингвуда. Построив первую современную модель Земли, модель А', Буллен вел разделение Земли на зоны, что удобно при рассмотрении земных недр. Функции  $\rho(l)$ ,  $\rho'(l)$  и  $g(l)$  для модели Буллена А' показаны на рис. 22.

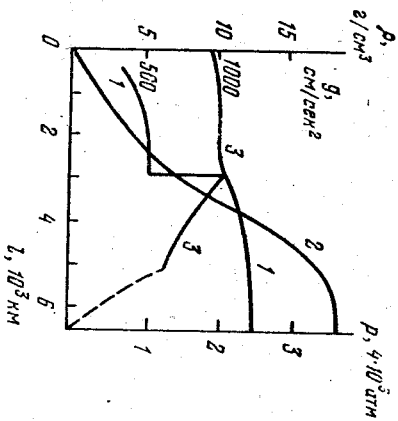


Рис. 22. Распределение плотности, давления и ускорения силы тяжести внутри Земли: 1 — плотность  $\rho$ ; 2 — давление  $P$ ; 3 — ускорение силы тяжести  $g$ .

Реальная модель Земли, представленная на рис. 22, завершает собой классический период в геофизике — период сейсмологии объемных волн. В этот период геофизика была, по существу, геомеханикой, так как она опиралась в основном на методы, развитые в механике сплошной среды и методы прикладной математики. Окончание классического периода относится к началу пятидесятых годов.

Современный период в геофизике начался с работ Бёрча в США и работ В. А. Магницкого и группы советских физиков во главе с Б. И. Давыдовым в Институте физики Земли АН СССР, сделавших попытку применить методы физики твердого тела и физики высоких давлений для геофизических целей. Затем Пресс и Юинг в США превратили метод поверхностных волн в действенное средство исследования наружных слоев Земли. Далее последовали работы по собственным колебаниям Земли, по изучению геофизических материалов в лабора-

торных высоких давлений, по изучению объемных волн с помощью сейсмических профилей — определенных направлений, видов которых с определенным интервалом расположено большое число сейсмографов. Сейсмический профиль обеспечивает значительно большую чувствительность при выделении полезного сигнала по сравнению с единичными сейсмоприемниками. А это в свою очередь

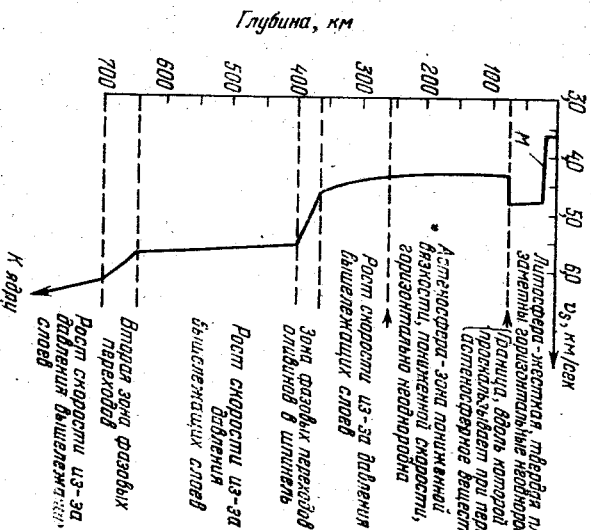


Рис. 23. Она из первых современных реальных моделей оболочки Земли. Модель построена по данным сейсмологии и по данным лабораторных исследований при высоких давлениях.

позволяет получить более детальную картину изменения с глубиной скоростей  $v_p(l)$  и  $v_s(l)$ .

В результате всех этих новшеств была выяснена детальная структура верхней мантии Земли. На рис. 23 показано одно из первых детальных распределений скоростей поперечных сейсмических волн  $v_s(l)$ . Тонкая структура верхней мантии, показанная на рис. 23, приводит к новому разделению на зоны наружных слоев Земли. Граница наружной зоны — литосфера, или, как ее часто называют, литосферной плиты, расположена на глубине 70 км. Литосфера включает в себя как земную кору, так и верхнюю оболочку (мантию Земли). Этот слой

объединяется в единое целое его механическими свойствами.

Жесткая литосферная плита расколота примерно на 10 больших плит, по границам которых расположено подавляющее число очагов землетрясений. Под жесткой литосферой в интервале глубин 70—250 км расположен слой повышенной текучести. Это астеносфера Земли. Вязкость астеносферы  $\sim 10^{20}$ — $20^{21}$  пуаз, малая по геофизическим масштабам. Выше отмечалось, что из-за малой вязкости астеносферы жесткие наружные плиты нахлываются в вязостатическом равновесии: они как гигантские айсберги плавают в «астеносферном океане» Земли. По-видимому, процессы, протекающие в астеносфере, определяют геологическое строение земной коры. Там происходит перетекание вещества; в астеносфере расположены и первичные магматические очаги вулканов. Именно в астеносфере образуются базальтовые магмы, которые затем по вулканическим каналам и трещинам в земной коре изливаются на поверхность Земли. Геометрически астеносфера совпадает со слоем пониженных скоростей сейсмических волн в верхней мантии. Это не случайно, а является результатом общей причины. В астеносфере температуры мантийного вещества наиболее близко подходят к температурам плавления.

Начиная с глубины  $\sim 250$  км скорости сейсмических волн начинают постепенно расти. Это показывает, что на глубинах 250—400 км влияние давления на  $v_s$  и  $v_p$  преобладает над влиянием температуры (из опыта известно, что рост давления вызывает увеличение скоростей  $v_s$  и  $v_p$ , а рост температуры приводит к их уменьшению). На глубинах около 400 км (см. рис. 23) нарастают скорости аномально велико из-за фазовых переходов оливинов в шиннелевую модификацию — это первая зона фазовых переходов в оболочке Земли. На глубинах 400—650 км скорости сейсмических волн снова медленно возрастают под влиянием роста давления вышележащих слоев. На глубинах 650—700 км (см. рис. 23) наблюдаются второй всплеск скоростей — это вторая зона фазовых переходов в оболочке Земли. Вопрос о том, какие конкретно фазовые переходы ответственные за аномальный рост скорости на глубинах 650—700 км, в настоящее время все еще дискутируется в литературе. Одни считают, что справедлива гипотеза Бёрча—Магницкого, высказанная еще в начале пятидесятых годов, о распадае

сильняков при высоких давлениях на окислы:  $MgO$ ,  $FeO$ ,  $SiO_2$  (стишовит),  $Al_2O_3$ . Другое объяснение за Рингвудом и Гринном считают, что на этих глубинах основные породы образующие минералы оболочек Земли переходят в более сложную структуру, о которых мы писали в § 6.2. В § 7.4 об этом будет сказано подробнее. Начиная с глубины 700 км и вплоть до границы с ядром Земли скорости плавно нарастают под влиянием давления вышележащих слоев.

### 7.3. СОВРЕМЕННЫЕ МОДЕЛИ ЗЕМЛИ

Современные модели Земли можно разделить на оптимальные и стандартные. Под оптимальной моделью понимают модель, наилучшим образом удовлетворяющую всем имеющимся данным о Земле, а стандартная модель также достаточно хорошо удовлетворяет данным наблюдениям, но еще и достаточно проста, чтобы с ней было легко манипулировать в повседневной геофизической практике. В настоящее время наиболее чисто исследователей работает над этой основной задачей геофизики. Классические модели строились в постановке прямой задачи геофизики, т. е. методом подбора. Обилие новых данных позволило перейти к построению модели методом решения обратной задачи геофизики. Обратные задачи решаются с помощью теории возмущений, когда задается какая-то исходная нулевая модель и ищутся такие малые возмущения распределения плотности и упругих модулей ( $K$  и  $\mu$ ) или скоростей объемных волн  $v_p$  и  $v_s$ , чтобы наилучшим образом согласовать модель с данными о времени пробега различных фаз объемных волн. Дисперсионные кривые для поверхностных волн и периодами собственных колебаний Земли. Практические методы решения обратных задач делятся на два широких класса. Метод Монте-Карло для определения модели Земли был предложен В. И. Кейлисе-Бороком и Т. Б. Яновской в СССР и широко использовался Ф. Прессом в США. Второе направление исходит из метода наименьших квадратов и получило наибольшее развитие в работах американских теоретиков Бейкюса и Гильберга. Как мы видели, классические модели Земли сферически-симметричны. В то же время, поскольку  $\sim 2/3$  поверхности Земли покрыты океанами, а остальная часть ванята континентами, существуют отклонения наружных

ство от сферической симметрии. Это обстоятельство и является главной причиной трудностей при построении современных моделей Земли. Действительно, если мы построим некоторую очень хорошую сферически-симметричную модель Земли, то мы не сможем в первую очередь добиться хорошего согласия теоретических и экспериментальных дисперсионных кривых для океанических и континентальных трасс из-за того, что глубинное строение океанов и континентов различается на протяжении нескольких сотен километров. Отсюда сразу следует, что вначале необходимо построить две средние региональные модели Земли: одну океаническую, другую — континентальную. Так как имеются указания, что отклонения от сферической симметрии с глубиной нивелируются, то обе модели постепенно должны переходить в общую сферически-симметричную модель земных недр. Именно по такому пути и пошла в своей работе интернациональная группа сейсмологов в составе А. Давнонского (США), А. Хейлза (Австралия) и Е. Лангуда (Англия), которые предложили простую стандартную модель Земли, близкую к лучшим оптимальным моделям. Эти авторы построили параметрически простые модели Земли, в которых распределение плотности  $\rho(R)$  и скоростей  $v_p(R)$  и  $v_s(R)$  заданы кусочно-непрерывными аналитическими функциями радиуса  $R$  ( $R = r/S_1$  — безразмерный радиус,  $S_1 = 6371$  км — средний радиус Земли). Непрерывные куски распределений описываются полиномами  $R$  не старше третьей степени. Построен трехкомпонентный набор моделей. Глубже первой зоны фазовых переходов в средней мантии, которая моделируется скачком плотности и скоростей и помещена на глубину 420 км, все три модели идентичны. Две модели отражают различие в строении срединеокеанического и срединеконтинентального регионов Земли, которые локализованы в коре и верхней мантии до глубины 420 км. Третья модель представляет среднюю модель элик двух региональных моделей Земли. Для краткости введены обозначения РЕМ-О, РЕМ-С и РЕМ-А для параметрической модели Земли океанического и континентального типа и средней параметрической модели Земли<sup>1)</sup>. Подчеркнем, что все три

<sup>1)</sup> РЕМ — parametric earth models (параметрическая модель Земли), О — oceanic (океаническая), С — continental (континентальная), А — average (средняя).

модели сферически-симметричны. При построении модели РЕМ-О используются средние данные для океанического региона Земли, модели РЕМ-С — средние данные для континентального региона Земли, а модели РЕМ-А — некоторая комбинация РЕМ-О и РЕМ-С. Коэффициенты в полиномах моделей РЕМ определены в основном наименьших квадратов так, чтобы удовлетворить данным наблюдений о временах пробега волн  $P$ ,  $S$ ,  $SKS$ ,  $PKKP$  и разностях времен пробега  $SKKS - SKS$ ,  $SKS$ , большим выбором из 1064 собственных периодов Земли и дисперсионным кривым для океанических и континентальных регионов. Рассчитанные таким образом модели РЕМ графически показаны на рис. 24 и 25. Значения физических параметров модели для некоторых глубин даны в табл. 4. Таким образом, так же как и в случае классических моделей, современные модели являются некоторыми идеализированными моделями. Это обусловлено тем, что мы реально сферически не симметричную Землю продолжаем описывать сферически-симметричными моделями. В настоящее время, видимо, надо стремиться к набору стандартных моделей Земли, каждая из которых должна соответствовать характеру той или иной задачи физики Земли.

Сделаем некоторые замечания о моделях типа РЕМ. В этих моделях реальная ситуация заметно упрощена, в особенности в зоне фазовых переходов на глубине 420 км и 670 км. Более подробно мы об этом скажем в следующем параграфе, посвященном химическому и микроструктурному составу Земли. Переход между внешним и внутренним ядром также в действительности размазан. Вероятно, имеются некоторые нерегулярности на кривых  $v_p(l)$  и  $v_s(l)$  в нижней мантии и на границе мантии — ядро. Однако модели РЕМ приводят к согласию с данными наблюдений не хуже, чем значительно более сложные модели, в которых в настоящее время нет недостатка. Простота моделей типа РЕМ является их преимуществом, а основные особенности строения недр Земли они описывают так же хорошо, как и более сложные модели. Отметим еще, что согласно моделям РЕМ распределение плотности в Земле глубже 670 км подчиняется уравнению Адамса — Вильямсона; отклонение от этого уравнения не превышает 0,2%. Отсюда вытекает, что отклонения от химической однородности и адiabатичности в нижней мантии и ядре очень малы.

Молочей РЭМ — Земля

К, код	И, код	λ <sup>1)</sup> , код	σ <sup>2)</sup>	D, код	E, см·сек <sup>-2</sup>
14 237	1653	13 135	0,4444	3632,4	0
13 625	1502	12 623	0,4468	3288,7	436,2
12 773	0	12 773	0,5	3288,7	436,2
6 345	0	6 345	0,5	1354,0	1069,3
6 582	2914	4 644	0,3073	1354,0	1069,3
3 045	1639	1 954	0,2721	239,1	1001,2
2 480	1220	1 666	0,2886	239,1	1001,2
2 157	961	1 516	0,3060	141,1	997,6

Земля

1 758	815	1 214	0,2992	1411,1	997,6
1 150	684	694	0,2518	2,2	983,5
647	390	387	0,2490	2,2	983,5
647	390	387	0,2490	0,6	983,0
40	15	30	0,3333	0,6	983,0
40	15	30	0,3333	0,4	982,9
23	0	23	0,5	0,4	982,9
23	0	23	0,5	0	982,0

Земля

1 865	823	1 316	0,3076	140,7	997,6
1 161	730	674	0,2400	9,7	984,2
686	410	412	0,2506	9,7	984,2
686	410	412	0,2506	5,3	983,3
483	323	267	0,2263	5,3	983,3
483	323	267	0,2263	0	981,6

Земля

1 762	820	1 215	0,2985	141,1	997,6
1 127	716	649	0,2377	4,8	983,7
681	408	409	0,2503	4,8	983,7
681	408	409	0,2503	3,3	983,4
537	353	301	0,2301	3,3	983,4
537	353	301	0,2301	0,3	982,6
23	0	23	0,5	0,3	982,6
23	0	23	0,5	0,0	981,9

Физические параметры

Номер уровня	Радиус, км	Глубина, км	ρ, г·см <sup>-3</sup>	v <sup>1)</sup> , км·сек <sup>-1</sup>	v <sup>2)</sup> , км·сек <sup>-1</sup>	Φ, км·сек <sup>-1</sup>
1	0	6371	13,012	11,241	3,565	109,42
2	1217,1	5153,9	12,704	11,091	3,439	107,25
3	1217,1	5153,9	12,139	10,258	0,000	105,22
4	3485,7	2885,3	9,909	8,002	0,0	64,04
5	5701,0	2885,3	5,550	13,732	7,243	118,61
6	5701,0	670,0	4,377	10,928	6,114	69,57
7	5701,0	670,0	4,077	10,038	5,417	60,84
8	5951,0	420,0	3,768	9,554	5,052	57,26
Окрасинская						
9	5951,0	420,0	3,553	8,949	4,789	49,50
10	6360,0	11,0	3,305	7,900	4,550	34,81
11	6360,0	11,0	2,850	6,400	3,700	22,71
12	6366,0	5,0	2,850	6,400	3,700	22,71
13	6366,0	5,0	1,500	2,000	1,000	2,67
14	6367,0	4,0	1,500	2,000	1,000	2,67
15	6367,0	4,0	1,030	1,500	0,000	2,25
16	6371,0	0	1,030	1,500	0,000	2,25
Кустинская						
9	5951,0	420	3,553	9,135	4,816	52,57
10	6336,0	35,0	3,320	8,020	4,690	34,99
11	6336,0	35,0	2,920	6,500	3,750	23,50
12	6351,0	20,0	2,320	6,500	3,750	23,50
13	6351,0	20,0	2,720	5,800	3,450	17,77
14	6371,0	0	2,720	5,800	3,450	17,77
Средняя						
9	5951,0	420,0	3,553	8,967	4,806	49,60
10	6352,0	19,0	3,310	7,934	4,654	34,07
11	6352,0	19,0	2,902	6,500	3,750	23,50
12	6357,0	14,0	2,902	6,500	3,750	23,50
13	6357,0	14,0	2,802	6,000	3,550	19,20
14	6368,0	3,0	2,802	6,000	3,550	19,20
15	6368,0	3,0	1,030	1,500	0,0	2,25
16	6371,0	0,0	1,030	1,500	0,0	2,25

1) λ = K - 2/3 μ — параметр Ламе.

2) σ = 1 / (v<sup>2</sup> - 2v<sup>1</sup>g) — коэффициент Пуассона.

#### 7.4. МИНЕРАЛОГИЧЕСКИЙ СОСТАВ МАНТИИ

На основании данных лабораторных экспериментов (см. § 6.2) можно заключить, что пироксеновая компонента мантии (модельные составы  $90\% \text{MgSiO}_3 \cdot 10\% \text{Al}_2\text{O}_3$ ) на глубинах, меньших 70 км, кристаллизуется в виде ортопироксенов. Далее, в интервале глубин 70—500 км ортопироксены сосуществуют с гранатами, причем концентрация граната систематически нарастает, достигая 100% на глубине 500 км. Структура граната устойчива в интервале глубин 500—640 км; смена структуры граната структурной ильменита происходит на глубинах 660—740 км, а глубже 760 км структура ильменита сменяется структурой перовскита. В пиролитовом составе мантии основным минералом является оливин, доля которого составляет ~60 весовых процентов. Поэтому совершенно естественно, что переход  $\alpha \rightarrow \beta$  или  $\alpha \rightarrow \gamma$  должен быть ответствен за аномальный рост скорости на глубинах 400—430 км. В моделях Земли типа РЕМ, описанных в § 7.3, первый фазовый переход в оболочке Земли приурочен к глубине 420 км.

Чтобы разобраться в этом вопросе, обратимся к рис. 19, на котором изображено два смежных изотермических сечения фазовой диаграммы системы  $\text{Mg}_2\text{SiO}_4$ — $\text{Fe}_2\text{SiO}_4$  при 1200 °С и 1600 °С. Сечение при 1200 °С взято из работы Акимого, Матсуи и Сэно, а сечение при 1600 °С построено путем экстраполяции данных тех же авторов при 800, 1000 и 1200 °С. На рис. 19 восстановлена ордината (штриховая линия), соответствующая молекулярной концентрации железа в пиролите около 0,11. Эта линия встречается кривую фазового равновесия  $\alpha \leftrightarrow (\alpha+\beta)$  при 1600 °С и давлением ~135 кбар, что отвечает глубине 400 км. Из фазовой диаграммы видно, что переход оливина ( $\alpha$ ) в модифицированную шпинель ( $\beta$ ) растянут на 12 кбар (примерно на 35 км). Если на протяжении этих 35 км температура также возрастает, то толщина слоя, в котором сосуществуют фазы  $\alpha$  и  $\beta$ , возрастает. Напомним, что при  $\alpha \rightarrow \beta$  и  $\beta \rightarrow \gamma$ -переходах плотность возрастает 8 и 3% соответственно.

Если предположить, что градиент температуры в зоне 430—630 км равен ~2 °С/км, то область  $\beta$ -фазы простирается до глубины ~600 км, где завершается переход  $\beta \rightarrow \gamma$  (шпинель). Оценить ширину переходной зоны

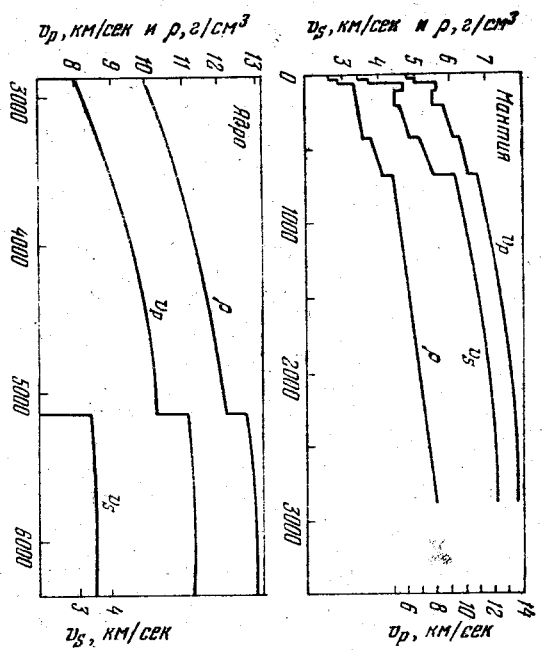


Рис. 24. Модель Земли РЕМ-С (концентрическая).

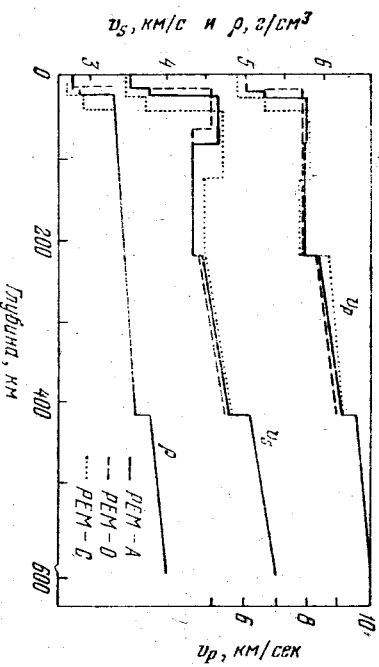


Рис. 25. Модели верхней мантии РЕМ-С (концентрическая), РЕМ-О (сферическая), и РЕМ-А (средняя Земля). Для глубин, больших 420 км, параметры для всех трех моделей одинаковы (см. рис. 24).



ТРУДНО; видимо, она порядка десятков километров. Область шпинельной модификации занимает интервал  $\sim 600 \div (650 \div 670)$  км (в моделях типа РЕМ второй фазовый переход помещен на глубине 670 км, где все физические параметры  $[\rho, \nu_s, \nu_p]$  возрастают скачком). Если градиент температуры в зоне 430—600 км в два раза меньше ( $\sim 1 \text{ град/км}$ ), то переход  $\nu \rightarrow \gamma$  завершается на глубине  $\sim 570$  км. Глубже 670—700 км все минералы находятся в постшпинельных модификациях. Использование фазовой диаграммы для исследования зоны С позволяет не только установить структуру этой зоны, но и определить реперную точку для температуры на глубине 400 км. Эта температура оказывается равной  $1600 \pm \pm 50^\circ\text{C}$ . При анализе было сделано предположение о молекулярном отношении  $\text{Fe}/(\text{Fe}+\text{Mg}) \sim 0,11$  в соответствии с гипотезой пиролитового состава мантии Земли. Если состав оливинов несколько отличается от принятой в этой модели, то приведенные выше цифры, характеризующие переходной слой, несколько изменятся, хотя сам характер анализа сохраняется.

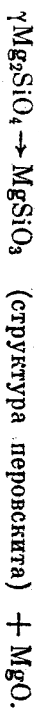
В самое последнее время (см. § 6.2) вопрос о постшпинельном переходе был решен в пользу следующей

Т а б л и ц а 5

Минералогические зоны в оболочке Земли (по данным Л. Дину)

Зоны мантии	Глубина, км	Основные минеральные фазы		
Верхняя мантия (зона В)	70 Оливиновая зона	Оливин	Пироксен + $\text{Al}_2\text{O}_3$ + гранат	Гранат
Переходная зона (зона С)	420 Шпинельная зона	В-фаза Шпинель	Гранат	
	670 Зона перовскита и клинфелта	Перовскит + $(\text{Mg}, \text{Fe})\text{O}$	Кльменит Перовскит	Кльменит? Перовскит?
	1000 Перовскитовая зона	Перовскит + $(\text{Mg}, \text{Fe})\text{O}$	Перовскит	Перовскит
Нижняя мантия (зона D)	2800			

реакции:



Этот переход должен происходить на глубинах  $\sim 650$ —670 км и сопровождается возрастанием координатного числа кремния с четырех до шести. Все изложенное в этом параграфе показывает, что физической причиной границы на глубине 420 км является фазовый переход оливинов в  $\nu$ -фазу, а граница на глубине 670 км обусловлена фазовыми переходами, при которых координатное число кремния становится равным шести. Лину указал также, что можно ожидать трещей границы в средней мантии на глубинах 750—770 км из-за фазового перехода клинфелта в перовскит.

Разбиение мантии Земли на минералогические зоны согласно новейшим данным приведено в табл. 5.

Важный вопрос о состоянии химического состава нижней мантии находится в состоянии изучения. Здесь конкурируют два мнения. Согласно одному химический состав нижней мантии тот же, что и верхней мантии. Согласно другому мнению величина отношения  $\text{Fe}/\text{Mg}$  в нижней мантии несколько больше, чем в верхней.

## 7.5. ФИЗИЧЕСКАЯ МОДЕЛЬ ЗЕМЛИ

В этой главе речь шла о сейсмологической модели Земли.

Представляет интерес распределение в недрах Земли многих других физических параметров, таких как теплоемкость, коэффициент теплового расширения, адiabатическое температур, коэффициенты теплопроводности и вязкости, коэффициент электропроводности, который рассматривался в § 4.3, и т. д. Модель Земли, в которой даны распределения всех этих величин, условно можно назвать физической моделью Земли.

Идея метода, позволяющего получить некоторые распределения, весьма проста. Следует теоретически вскрыть зависимость искомой величины от объема (или плотности) и температуры и, беря значащие величины в некоторой точке ( $\rho_0, T_0$ ) из эксперимента, дальнейший ее ход в недрах Земли найти, подставляя в соответствующую формулу распределения  $\rho(l)$  и  $T(l)$ . Сейчас, если иметь в виду принципиальную сторону вопроса, рассматриваемая проблема представляется собой пройденный этап геофизики. Од-

так, нелишне напомнить, что еще совсем недавно, скажем, 30 лет назад, картина была совсем другой.

В те времена как геофизики, так и специалисты по физике высоких давлений не имели опыта работы при давлениях в сотни килобар и в метабарной области и, по существу, не были психологически готовы к восприятию соответствующих результатов. Казалось, что если от обычного давления в одну атмосферу перейти к давлению, в миллион раз большим, то и многие свойства вещества могут претерпеть большие непредсказуемые изменения.

Однако единица давления — атмосфера является, по существу, не очень удачной единицей, когда речь идет об изучении сжимаемости конденсированных сред. Характерным давлением в этом случае будет давление порядка модуля сжатия, т. е. давление порядка сотен килобар (см. табл. 4).

Реальной физической характеристикой среды, характерной более осозаемой, чем давление, является среднее расстояние между атомами, которое порядка постоянной решетки.

Если обратиться к табл. 4, то мы увидим, что давление на границе  $M$  лежит в пределах 2,2—9,7  $kbar$ , а на границе оболочка — ядро равно 1354  $kbar$ , т. е. на протяжении оболочки давление увеличивается больше, чем в 100 раз. Соответствующее изменение постоянной решетки в процентах равно

$$\frac{\Delta a}{a} \sim \frac{\rho_{0T} - \rho_{0M}}{\rho_{0M}} \cdot 100 = \frac{5,55 - 3,3}{3,3} \cdot 100 = 23\%$$

т. е., по существу, очень невелико. В недрах Земли вещество сжато слабо и соответственно электронное строение атомов в условиях земных недр меняется незначительно. Это позволяет оценить многие физические параметры земных недр с помощью методов физики твердого тела и физики высоких давлений.

Построение физической модели Земли в указанном выше смысле было выполнено в основном в Институте физики Земли АН СССР в конце пятидесятых и начале шестидесятых годов. Некоторые результаты были независимо получены канадским геофизиком Р. Аффеном, американским геофизиком Ф. Бёрчем и другими.

Для того чтобы построить термодинамику оболочек и ядра Земли и рассчитывать термодинамические коэффициен-

ты, необходимо определить две новые функции плотности земных недр:  $\theta(\rho)$  — дебаевскую температуру и  $\gamma(\rho)$  — параметр Грюнайзена (см. стр. 137). Эти две функции полностью определяют термодинамику дебаевской модели твердого тела. Дебаевская температура разграничивает температурную область на высокотемпературную  $T \gg \theta$ , в которой свойства конденсированной среды подчиняются законам классической статистической физики и где для теплоемкости справедлив закон Дюлонга и Пти, и низкотемпературную  $T \ll \theta$ , где свойства среды подчиняются законам квантовой статистической физики и где теплоемкость не постоянна, а убывает пропорционально кубу абсолютной температуры ( $c \sim T^3$ ) при приближении к абсолютному нулю. В случае земных недр, оболочек и ядра, мы имеем дело с классическим предельным случаем  $T \gg \theta$ .

Построение любой модели твердого тела начинается с того, что истинный спектр частот атомных колебаний заменяется некоторым более простым, подлающим расщепу спектр. Если сделать самое простое предположение и считать, что все частоты атомных колебаний равны, то мы приходим к эйнштейновской модели твердого тела (1907 г.). Эта модель сыграла большую роль в истории физики, так как именно на ней А. Эйнштейн ввел квантовые представления в физику твердого тела, что позволило объяснить падение теплоемкости при низких температурах — явление, ставившее в тупик классическую физику. Следующий шаг был сделан в 1912 г. П. Дебаем. Предложенная им модель оказалась достаточной для многих задач, в том числе и для тех, которые рассматриваются в этом параграфе.

Чтобы лучше понять смысл дебаевской температуры, поясним, как она определяется. В дебаевской модели твердого тела истинный спектр собственных колебаний атомов, составляющих рассматриваемое тело, заменяется простыми модельным спектром, в котором число собственных частот, приходящихся на интервал от  $\omega$  до  $\omega + \Delta\omega$ , равно

$$z(\omega) \Delta\omega = \frac{3V\omega^2}{2\pi^2 v_s^3} \Delta\omega, \quad (44)$$

где  $\bar{v}$  — средняя скорость звука:

$$\frac{3}{\bar{v}^3} = \frac{1}{v_p^3} + \frac{2}{v_s^3}, \quad (45)$$

$v_p$  и  $v_s$  — скорости продольных и поперечных акустиче-

ских волн (т. е. скорости объемных сейсмических волн);  $V$  — объем твердого тела. Полное число собственных частот равно  $3N$ , где  $N$  — число атомов в рассматриваемом теле. Дебаевская частота  $\nu_D$  определяется как максимальная (предельная) частота в Дебаевском спектре [формула (44)].

Кванты тепловых колебаний в твердом теле называются фононами, в отличие от световых квантов, — фотонов. Энергию фонона с дебаевской частотой  $\nu_D$  можно записать в двух видах:

$$\epsilon_D = h\nu_D = k\theta, \quad \theta = \frac{h}{k} \left( \frac{6\pi^2 N}{V} \right)^{1/3}, \quad (46)$$

где  $h$  — постоянная Планка, деленная на  $2\pi$ ,  $k$  — постоянная Больцмана (газовая постоянная, отнесенная к одному атому),  $\theta$  — Дебаевская температура. Таким образом, дебаевская температура — это измеренная в градусах энергии предельного дебаевского фонона. В предельном случае выделенной температуры  $T \gg \theta$  тепловой энергии достаточно, чтобы возбудить весь спектр тепловых колебаний атомов и это соответствует классическому предельному случаю. Обращаясь к формуле (46), легко видеть, что данные сейсмологии позволяют нам определить дебаевскую температуру как функцию глубины в оболочке Земли, т. е.  $\theta(l)$ . Оказывается, что данные сейсмологии позволяют определить  $\theta(l)$  и для ядра Земли. Так решается первая часть задачи определения функции  $\theta(l)$  для земных недр.

Вторая необходимая нам функция — это параметр Грюнайзера  $\gamma(l)$ . Эта функция характеризует изменение дебаевской частоты при изменении плотности и определяется как логарифмическая производная дебаевской температуры  $\theta(\rho)$  по плотности:

$$\gamma(l) = \frac{d \ln \theta}{d \ln \rho} = \frac{\rho(l)}{\theta(l)} \frac{d\theta}{d\rho}. \quad (47)$$

Нам известны функции  $\theta(l)$  и  $\rho(l)$ , поэтому формула (47) позволяет вычислить функцию  $\gamma(l)$ . Как всякая логарифмическая производная,  $\gamma(l)$  — медленно изменяющаяся величина порядка единицы. Обе функции  $\theta(l)$  и  $\gamma(l)$  для оболочечки и ядра показаны на рис. 26 и 27.

Для того чтобы рассчитать дебаевскую температуру по формуле (46), кроме средней скорости  $\nu$  (45), которая определяется по данным сейсмологии (см. табл. 4), необходимо еще знать средний атомный вес вещества  $A$ . Для

магнитного пиролитического состава  $A \sim 22$ . Это дает для дебаевской температуры на глубине 100 км значение  $\theta_{100} \sim 660^\circ\text{K}$ .

Соответственно можно считать, что классический предельный случай в недрах Земли реализуется для глубин,

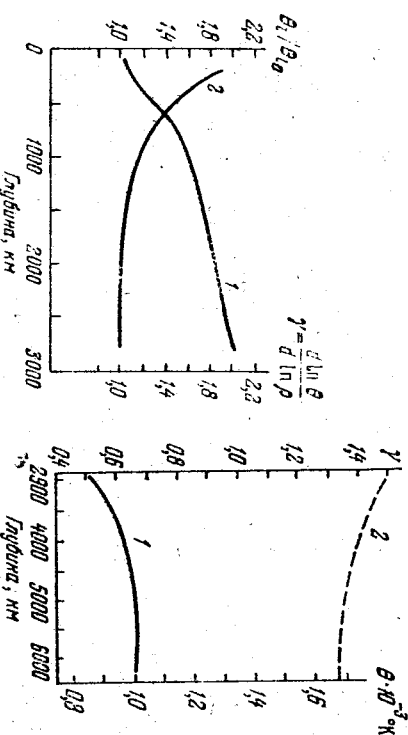


Рис. 26. Изменение дебаевской температуры (1) и параметра Грюнайзера (2) в оболочке Земли с глубиной.

Рис. 27. Изменение дебаевской температуры (1) и параметра Грюнайзера (2) в ядре Земли с глубиной.

где  $T \gg 1000^\circ\text{K}$ , т. е. в большей части земных недр. В классическом предельном случае удельная теплоемкость при постоянном объеме  $c_v$  дается законом Дюлонга и Пти

$$c_v = \frac{3R}{M} \cdot \nu = \frac{3R}{A}, \quad (48)$$

где  $R = 8,314 \cdot 10^7$  эрг/моль·град  $= 8,314$  Дж/моль·град — газовая постоянная,  $M$  — молекулярный вес,  $\nu$  — число атомов в молекуле,  $A$  — средний атомный вес.

Удельная теплоемкость при постоянном давлении  $c_p$  равна

$$c_p \approx c_v (1 + \gamma \alpha T), \quad (49)$$

где  $T$  — абсолютная температура, а  $\alpha$  — коэффициент теплового расширения, который может быть рассчитан по формулам

$$\alpha = \gamma \frac{c_p \rho}{K_S} = \gamma \frac{c_v \rho}{K_T}, \quad (50)$$

где  $K_S$  и  $K_T$  — адиабатический и изотермический модули сжатия соответственно. Адиабатические и изотермические

коэффициенты сжимаемости  $\beta_s$  и  $\beta_T$  связаны с теплоемкостями термодинамической формулой

$$\frac{\beta_T}{\beta_s} = \frac{K_S}{K_T} = \frac{c_p}{c_v}. \quad (51)$$

Вычисляя по формулам (48) — (51) термодинамические коэффициенты, можно рассчитать адiabатический градиент температуры в оболочке и ядре Земли по формуле

$$\left(\frac{dT}{dl}\right)_{ад} = \frac{g c_T}{c_p}, \quad (52)$$

где  $g$  — ускорения силы тяжести,  $l$  — глубина. Рассчитанные таким образом термодинамические коэффициенты для разных глубин сведены в табл. 6 и 7. Приняты при расчете распределения температуры слабо влияют на значении чисел, приведенных в табл. 6 и 7. Поясим теперь

Т а б л и ц а 6

Значения термодинамических величин оболочки Земли при распределении температур вдоль адiabатического градиента

Глубина, км	$T, ^\circ\text{K}$	$\alpha$ (град $^{-1}$ ), $\cdot 10^6$	$\frac{c_p}{c_v}$	$\left(\frac{T}{T_{100}}\right)_{ад}$
400	4500	68,1	1,19	1
200	1575	62,5	1,19	1,051
600	1800	25,5	1,06	1,205
1000	1950	16,9	1,04	1,295
1800	2160	11,0	1,02	1,44
2900	2400	9,5	1,02	1,61

подробно, как получают для оболочки Земли распределение коэффициента теплопроводности  $\kappa(l)$ , что получательно в методическом отношении. Коэффициент теплопроводности оболочки Земли  $\kappa$  складывается из двух частей:  $\kappa_p$  — решеточной части коэффициента теплопроводности, обусловленной обычным механизмом переноса тепла в диэлектриках за счет диффузии тепловых колебаний кристаллической решетки — фононов,  $\kappa_d$  — лучистой части коэффициента теплопроводности, обусловленной переносом тепла инфракрасными электромагнитными волнами. Таким образом,

$$\kappa = \kappa_p + \kappa_d. \quad (53)$$

Теоретически можно определить зависимость  $\kappa_p$  от темпе-

ратуры и плотности через известные нам функции  $\theta(\rho)$  и  $\gamma(\rho)$  — дебаевскую температуру и параметр Грюнайзена

$$\kappa_p = A \frac{V^{1/3} \theta^3}{\gamma^2 T}, \quad (54)$$

где  $V$  — объем элементарной ячейки среды ( $V \sim 1/\rho$ ),  $A$  — некоторая нормировочная постоянная, определяемая

Т а б л и ц а 7

Значения термодинамических величин земного ядра при распределении температур вдоль кривой плавления

Глубина, км	$T, ^\circ\text{K}$	$\alpha$ (град $^{-1}$ ), $\cdot 10^5$	$\frac{c_p}{c_v}$	$\left(\frac{T}{T_{3000}}\right)_{ад}$
2900	4900	1,08	1,07	1
3600	4900	0,79	1,055	1,14
4400	5650	0,67	1,05	1,26
5000	6050	0,616	1,05	1,31
6571	6300	0,577	1,05	1,37

экспериментально. Оценим теперь изменение  $\kappa_p$  с глубиной. Обозначим индексами  $l$  и «100» величины, относящиеся к глубинам  $l$  и 100 км соответственно; тогда (54) переписывается следующим образом:

$$\kappa_{p,l} = \kappa_{p,100} \left(\frac{T_{100}}{T_l}\right) \left(\frac{\rho_{100}}{\rho_l}\right)^{1/3} \left(\frac{\gamma_{100}}{\gamma_l}\right)^2 \left(\frac{\theta_l}{\theta_{100}}\right)^3. \quad (55)$$

Для определения  $\kappa_{p,100}$  предположим, что оболочка состоит из дунгита (ультраосновная горная порода, близкая по своим физическим свойствам к магнийным породам), и воспользуемся экспериментальным значением для средней теплопроводности дунгита при  $0^\circ\text{C}$ ,  $\kappa_p = (T = 273^\circ\text{K}) = 1,24 \cdot 10^{-2} \text{ кал/см}\cdot\text{сек}\cdot\text{град}$ . Далее, из (55) следует, что на протяжении первых 100 км влияние температуры на изменение  $\kappa_p$  более существенно, чем влияние давления (или изменения плотности). Поэтому  $\kappa_{p,100}$  можно найти из соотношения  $\kappa_p = \frac{c_{пст}}{T}$ . Определив постоянную из условия  $\kappa_p = 1,2 \cdot 10^{-2}$  при  $T = 273^\circ\text{K}$ , получим  $c_{пст} = 3,4 \text{ кал/см}\cdot\text{сек}$ ,  $\kappa_{p,100} = \frac{3,4}{T_{100}}$ . Подставляя это в (55),

определим окончательное выражение для расчетной части коэффициента теплопроводности оболочки:

$$\kappa_{01} = \begin{cases} \frac{3.4}{T} & \text{при } l \leq 100 \text{ км,} \\ \frac{3.4}{T_{100}} \left( \frac{T_{100}}{T} \right) \left( \frac{\rho_{100}}{\rho} \right)^{1/3} \left( \frac{\gamma_{100}}{\gamma} \right)^2 \left( \frac{\theta_1}{\theta_{100}} \right)^2 & \text{при } 100 \leq l \leq 2900 \text{ км.} \end{cases} \quad (56)$$

При температурах порядка 2000—5000 °К в металлах заметный вклад в коэффициент теплопроводности может давать механизм лучистого переноса тепла. Выражение для  $\kappa_{\lambda}$  имеет вид

$$\kappa_{\lambda} = \frac{16 \sigma^* n^2 T^3}{3 \alpha}, \quad (57)$$

где  $\sigma^* = \frac{\pi^2 k^4}{60 h^3 c^2} = 1.37 \cdot 10^{-12} \text{ кал/сек} \cdot \text{см}^2 \cdot \text{град}^4$  — постоянная Стефана — Больцмана,  $\alpha$  — коэффициент поглощения,  $n$  — показатель преломления,  $c$  — скорость света в вакууме,  $h$  — постоянная Планка, деленная на  $2\pi$ ,  $k$  — постоянная Больцмана. Основная неопределенность в  $\kappa_{\lambda}$  заключена в  $\alpha$ . По-видимому, выбор подходящего значения  $\alpha$  для земных недр еще долго будет оставаться неопределенным. Пока подходящей оценкой можно считать  $\alpha \sim 100 \text{ см}^{-1}$ .

Качественно изменение  $\kappa$  в оболочке Земли можно описать так. Вначале коэффициент теплопроводности убывает примерно по закону  $T^{-1}$  [формула (56)]. На глубинах 100—200 км темп нарастания температуры замедляется, а сами температуры стабилизируются весьма высокими. В значениях  $\kappa$  (53) становится заметным вклад  $\kappa_{\lambda}$ . Таким образом, где-то на глубинах 100—200 км расположен минимум коэффициента теплопроводности; другими словами, здесь находится теплозапирающий слой, препятствующий выходу тепла земных недр наружу. Мы здесь отбрасываем от конвективного переноса тепла в этой зоне. Однако низкие значения  $\kappa$  в наружной зоне Земли в любом случае затрудняют вынос внутреннего тепла Земли наружу. По тем же причинам у Луны, Венеры, Марса и Меркурия примерно на тех же глубинах также должен располагаться аналогичный теплозапирающий слой. Значение  $\kappa$  в ниж-

ней мантии по крайней мере на порядок больше, чем в верхней мантии.

Вопрос о теплопроводности земного ядра не требует специального рассмотрения. Дело в том, что в металлах коэффициент теплопроводности  $\kappa$  связан с коэффициентом электропроводности  $\sigma$  законом Видемана — Франца

$$\frac{\kappa}{\sigma} = \frac{\pi^2}{3} \left( \frac{h}{e} \right)^2 T = LT, \quad (58)$$

где  $h$  — постоянная Больцмана,  $e$  — заряд электрона, постоянная Лоренца  $L = 5.86 \cdot 10^{-9} \text{ кал} \cdot \text{см/сек} \cdot \text{град}^{-2}$ . Значение  $\sigma \sim 3 \cdot 10^8 \text{ ом}^{-1} \cdot \text{см}^{-1}$  (см. § 4.3) и величина  $T \sim 5 \cdot 10^3 \text{ °К}$  позволяет с помощью формулы (58) оценить коэффициент теплопроводности земного ядра:

$$\kappa \sim 5.86 \cdot 10^{-9} \cdot 3 \cdot 10^8 \cdot 5 \cdot 10^3 \sim 0.1 \text{ кал/см} \cdot \text{сек} \cdot \text{град}. \quad (59)$$

Наконец, скажем несколько слов о вязкости земных недр. Этот важный параметр земных недр все еще характеризуется заметными неопределенностями. Вязкость земных недр можно приближенно оценить на основании следящих геофизических данных. Изучение последовательных подпитий дает следующую оценку средней вязкости астеносферы:

$$\eta \sim 10^{20} \div 10^{21} \text{ пуаз}. \quad (60)$$

Вязкость земного ядра каким-либо непосредственным путем оценить трудно. Если воспользоваться данными о поглощении продольных сейсмических волн во внешнем ядре (зоне  $E'$ ), то для средней вязкости внешнего ядра получается оценка

$$\eta \ll 10^9 \text{ пуаз (зона } E'). \quad (61)$$

Из физических соображений можно полагать, что вязкость внешнего ядра вряд ли больше  $10^9 \text{ пуаз}$ .

Распределение вязкости в оболочке Земли можно попытаться установить из физических соображений. Дело в том, что при высоких температурах ( $T > \frac{2}{3} T_{пл}$ ) твердые поликристаллические тела могут течь как вязкая жидкость. При этом перенос вещества осуществляется за счет самодиффузии, а сама вязкость именуется диффузионной. Диффузионную вязкость в твердых телах открыли теоретически независимо друг от друга Наббаро и Херринг на

пороге пятидесятих годов. Обобщение диффузионной вязкости на случай высоких давлений и применение к физике оболочки Земли было сделано в Институте физики Земли АН СССР на пороге шестидесятих годов. С хорошим приближением диффузионную вязкость оболочки Земли  $\eta$  можно записать как экспоненциальную функцию приведенной температуры  $\theta = T/T_{\text{пл}}$  ( $T_{\text{пл}}$  — температура плавления в  $^{\circ}\text{K}$ ):

$$\eta \sim \eta_{100} e^{\xi \theta}, \quad \xi \sim 20 \div 30, \quad (62)$$

где для  $\eta_{100}$  можно взять оценку (60).

Если принять, что вязкость оболочки является диффузионной, то нетрудно проследить ее дальнейший ход, нормируя ее на глубине  $l \sim 100$  км с помощью оценки (60). Пока приведенная температура  $\theta$  растет, вязкость падает.

В области, где вещество подкорового слоя ближе всего к температуре плавления ( $\theta$  максимално), вязкость минимальна. Затем  $\theta$  начинает уменьшаться, а вязкость соответственно расти. В переходной зоне оболочки (зона  $C$ ) вязкость возрастает на 2—3 порядка. Значение вязкости нижней мантии оценивается очень ненадежно. Как оценку, можно взять  $\eta \sim 10^{24}$  пуаз, хотя истинная вязкость нижней мантии может отличаться на два порядка.